



Московский государственный университет имени М.В. Ломоносова

Факультет вычислительной математики и кибернетики

“Суперкомпьютерное моделирование и технологии”

**Решение трёхмерного гиперболического уравнения в  
прямоугольном параллелепипеде**

**ОТЧЕТ**

**о выполненном задании**

студентка 620 группы

Руденко Ксения Рустамовна

Вариант 3

**Москва, 2023**

## Оглавление

1. Постановка задачи.....	3
2. Численный метод решения задачи .....	4
3. Программная реализация.....	5
4. Исследование масштабируемости программы.....	6
5. Выводы.....	12

# 1. Постановка задачи

Решается задача для трехмерного гиперболического уравнения в области прямоугольного параллелепипеда. Данное уравнение часто применяется в теории тепло- и массопереноса, гидро- и аэромеханике, электростатике. Таким образом, данная задача является актуальной в рамках современного суперкомпьютерного моделирования.

Постановка задачи:  
В трёхмерной замкнутой области

$$\Omega = [0 \leq x \leq L_x] \times [0 \leq y \leq L_y] \times [0 \leq z \leq L_z]$$

для  $(0 < t \leq T]$  требуется найти решение  $u(x, y, z, t)$  уравнения в частных производных

$$\frac{\partial^2 u}{\partial t^2} = a^2 \Delta u \quad (1)$$

с начальными условиями

$$u|_{t=0} = \phi(x, y, z) \quad (2)$$

$$\frac{\partial u}{\partial t} \Big|_{t=0} = 0 \quad (3)$$

при условии, что на границах области заданы либо однородные граничные условия первого рода:

$$u(0, y, z, t) = 0, \quad u(L_x, y, z, t) = 0, \quad (4)$$

$$u(x, 0, z, t) = 0, \quad u(x, L_y, z, t) = 0, \quad (5)$$

$$u(x, y, 0, t) = 0, \quad u(x, y, L_z, t) = 0, \quad (6)$$

либо периодические граничные условия

$$u(0, y, z, t) = u(L_x, y, z, t), \quad u_x(0, y, z, t) = u_x(L_x, y, z, t), \quad (7)$$

$$u(x, 0, z, t) = u(x, L_y, z, t), \quad u_y(x, 0, z, t) = u_y(x, L_y, z, t), \quad (8)$$

$$u(x, y, 0, t) = u(x, y, L_z, t), \quad u_z(x, y, 0, t) = u_z(x, y, L_z, t), \quad (9)$$

В варианте 3 граничные условия представлены в (10) – (12):

$$u(0, y, z, t) = 0, \quad u(L_x, y, z, t) = 0, \quad (10)$$

$$u(x, y, 0, t) = 0, \quad u(x, y, L_z, t) = 0, \quad (11)$$

$$u(x, 0, z, t) = u(x, L_y, z, t), \quad u_y(x, 0, z, t) = u_y(x, L_y, z, t), \quad (12)$$

Аналитическое уравнение функции  $u$ :

$$u(x, y, z, t) = \sin\left(\frac{\pi}{L_x} x\right) \cdot \sin\left(\frac{2\pi}{L_y} y\right) \cdot \sin\left(\frac{3\pi}{L_z} z\right) \cdot \cos(a_t \cdot t),$$

$$a_t = \frac{\pi}{2} \sqrt{\frac{1}{L_x^2} + \frac{4}{L_y^2} + \frac{9}{L_z^2}},$$

$$a^2 = 1/4$$

## 2. Численный метод решения задачи

Для численного решения задачи ведём на  $\Omega$  сетку:  $\omega_{h\tau} = \bar{\omega}_h \times \omega_h$ , где

$$T = T_0,$$

$$L_x = L_{x_0}, L_y = L_{y_0}, L_z = L_{z_0},$$

$$\bar{\omega}_h = \{(x_i = ih_x, y_j = jh_y, z_k = kh_z), i, j, k = 0, 1, \dots, N, h_x N = L_x, h_y N = L_y, h_z N = L_z\}$$

$$\omega_\tau = \{t_n = n\tau, n = 0, \dots, K, \tau K = T\}.$$

Через  $\omega_h$  обозначим множество внутренних, а через  $\gamma_h$  – множество граничных узлов сетки  $\bar{\omega}_h$ .

Для аппроксимации исходного уравнения (1) однородными граничными условиями (4) – (6) и начальными условиями (2) – (3) воспользуемся следующей системой уравнений:

$$\frac{u_{ijk}^{n+1} - 2u_{ijk}^n + u_{ijk}^{n-1}}{\tau^2} = a^2 \Delta_h u^n, (x_i, y_j, z_k) \in \omega_h, n = 1, 2, \dots, K-1,$$

Здесь  $\Delta_h$  – семиточечный разностный аналог оператора Лапласа:

$$\Delta_h u^n = \frac{u_{i-1,j,k}^n - 2u_{i,j,k}^n + u_{i+1,j,k}^n}{h^2} + \frac{u_{i,j-1,k}^n - 2u_{i,j,k}^n + u_{i,j+1,k}^n}{h^2} + \frac{u_{i,j,k-1}^n - 2u_{i,j,k}^n + u_{i,j,k+1}^n}{h^2}.$$

Приведённая выше разностная схема является явной – значения  $u_{ijk}^{n+1}$  на

( $n + 1$ )-м шаге можно явным образом выразить через значения на предыдущих слоях.

Для начала счёта (те для нахождения  $u_{ijk}^2$ ) должны быть заданы значения  $u_{ijk}^0, u_{ijk}^1, (x_i, y_j, z_k) \in \omega_h$ . Из условия (2) имеем

$$u_{ijk}^0 = \varphi(x_i, y_j, z_k), \quad (x_i, y_j, z_k) \in \omega_h. \quad (10)$$

Простейшая замена начального условия (3) уравнением  $(u_{ijk}^1 - u_{ijk}^0)/\tau = 0$  имеет лишь первый порядок аппроксимации по  $\tau$ . Аппроксимацию второго порядка по  $\tau$  и  $h$  дает разностное уравнение:

$$\frac{u_{ijk}^1 - u_{ijk}^0}{\tau} = \frac{\tau}{2} \Delta_h \varphi(x_i, y_j, z_k), \quad (x_i, y_j, z_k) \in \omega_h. \quad (11)$$

$$u_{ijk}^1 = u_{ijk}^0 + \frac{\tau^2}{2} \Delta_h \varphi(x_i, y_j, z_k), \quad (12)$$

Разностная аппроксимация для периодических граничных условий выглядит следующим образом:

$$u_{0jk}^{n+1} = u_{Njk}^{n+1}, \quad u_{1jk}^{n+1} = u_{N+1jk}^{n+1},$$

$$u_{i0k}^{n+1} = u_{iNk}^{n+1}, \quad u_{i1k}^{n+1} = u_{iN+1k}^{n+1},$$

$$u_{ij0}^{n+1} = u_{ijN}^{n+1}, \quad u_{ij1}^{n+1} = u_{ijN+1}^{n+1},$$

$$i, j, k = 0, 1, \dots, N.$$

Для вычисления  $u^0, u^1 \in \gamma_h$  допускается использование аналитического решения.

### 3. Программная реализация

Алгоритм численного решения задачи выглядит следующим образом:

1. Вычислить граничные значения  $u^0, u^1$  используя граничные условия (для периодического условия – значение аналитического решения).
2. Вычислить внутренние значения  $u^0, u^1$ .
3. Далее  $K$  шагов:
  - а. Вычисляем значение  $u^{n+1}$  во внутренних узлах сетки.
  - б. Вычисляем граничные значения  $u^{n+1}$  используя граничные условия (для периодического условия пользуемся разностной аппроксимацией и считаем значение  $u_{ijN}^{n+1}$ ), зная  $u_{ijN+1}^{n+1} = u_{ij1}^{n+1}$ .

Общая идея параллельных версий следующая. Сетка разбивается на блоки, затем каждый процесс считает значения в своем блоке и обменивается данными с соседями.

Для параллельных версий используется блочное 3d разбиение ( $2 \times N$  или  $4 \times N$ ), так как оно позволяет уменьшить число коммуникаций между процессорами. Разбиение осуществляется за счет создания декартовой топологии через `MPI_Cart_create`.

Оценка корректности осуществлялась за счет сравнения максимальной погрешности сетки, так как алгоритм не рандомизированный, то эта погрешность должна быть постоянной и равной значению на последовательной версии.

### 4. Исследование масштабируемости программы

Запуски проводились на Polus для  $L_x = L_y = L_z = L$ ,  $T = 2$ ,  $K = 10000$  на 20 шагах по времени. Результаты исследования и графики решений представлены ниже.

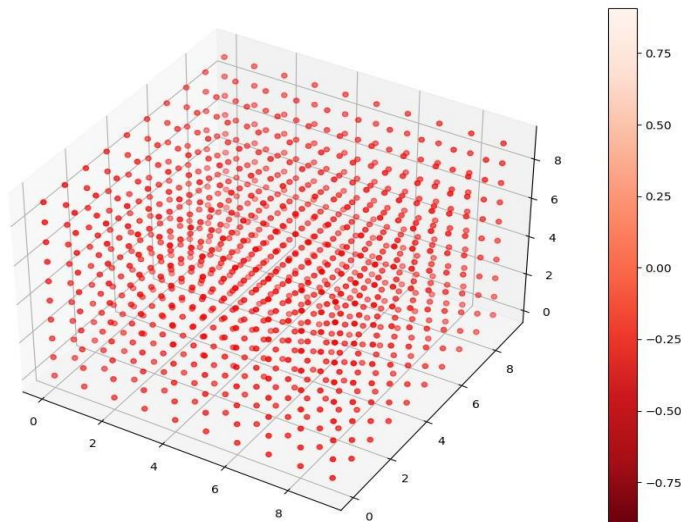


Рисунок 1. График аналитической функции при  $L = 1$  на 20 шаге по времени на сетке  $10^3$ .

Число OpenMP нитей	Число точек сетки $N^3$	Время решения T	Ускорение S	Погрешность $\delta$
2	$128^3$	0,48	1,9	$7 \cdot 10^{-8}$
4	$128^3$	0,25	3,72	$7 \cdot 10^{-8}$
8	$128^3$	0,19	4,89	$7 \cdot 10^{-8}$
16	$128^3$	0,18	5,1	$7 \cdot 10^{-8}$
4	$256^3$	2	3,8	$2 \cdot 10^{-8}$
8	$256^3$	1	7,5	$2 \cdot 10^{-8}$
16	$256^3$	0,84	8,9	$2 \cdot 10^{-8}$
32	$256^3$	0,62	12	$2 \cdot 10^{-8}$

Таблица 1. Результаты исследования OpenMP программы при  $L = 1$

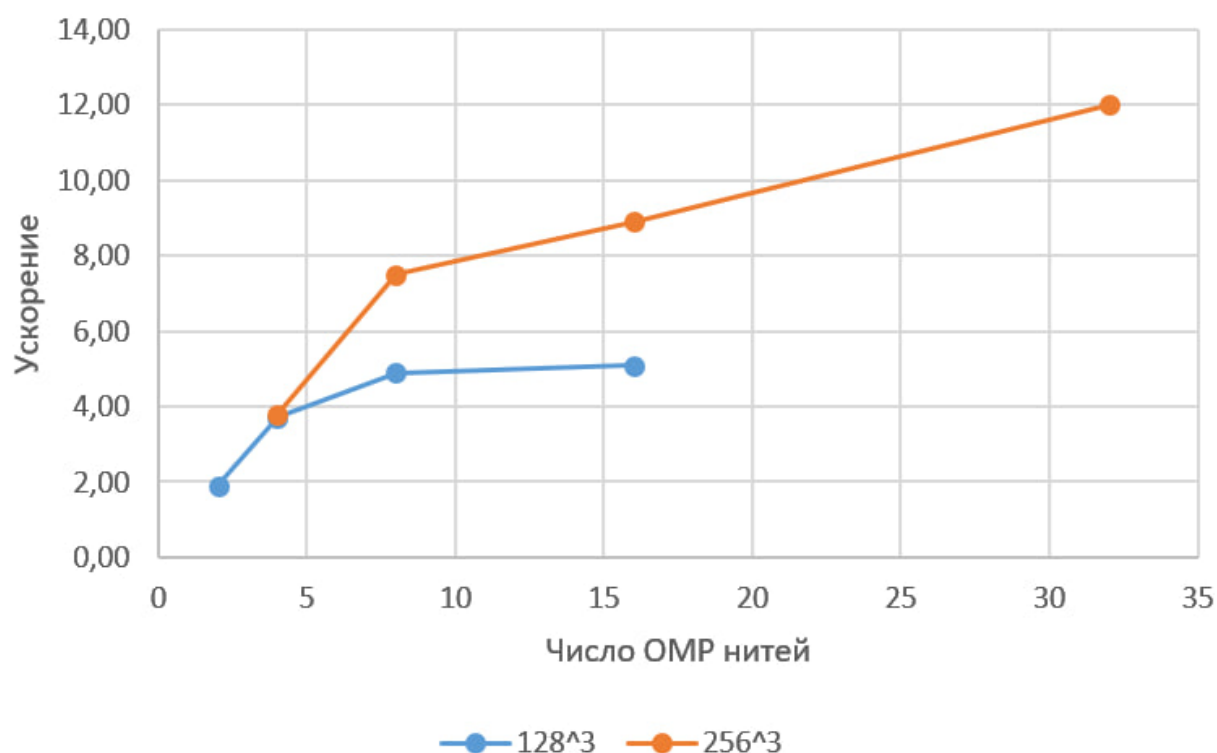


Рисунок 2. График ускорения OpenMP программы при  $L = 1$ .

Число OpenMP нитей	Число точек сетки $N^3$	Время решения $T$	Ускорение $S$	Погрешность $\delta$
2	$128^3$	0,47	2	$7 \cdot 10^{-9}$
4	$128^3$	0,23	4,1	$7 \cdot 10^{-9}$
8	$128^3$	0,18	5,2	$7 \cdot 10^{-9}$
16	$128^3$	0,17	5,5	$7 \cdot 10^{-9}$
4	$256^3$	1,9	3,6	$2 \cdot 10^{-9}$
8	$256^3$	1,1	6,2	$2 \cdot 10^{-9}$
16	$256^3$	0,89	7,8	$2 \cdot 10^{-9}$
32	$256^3$	0,64	11	$2 \cdot 10^{-9}$

Таблица 1. Результаты исследования OpenMP программы при  $L = \pi$



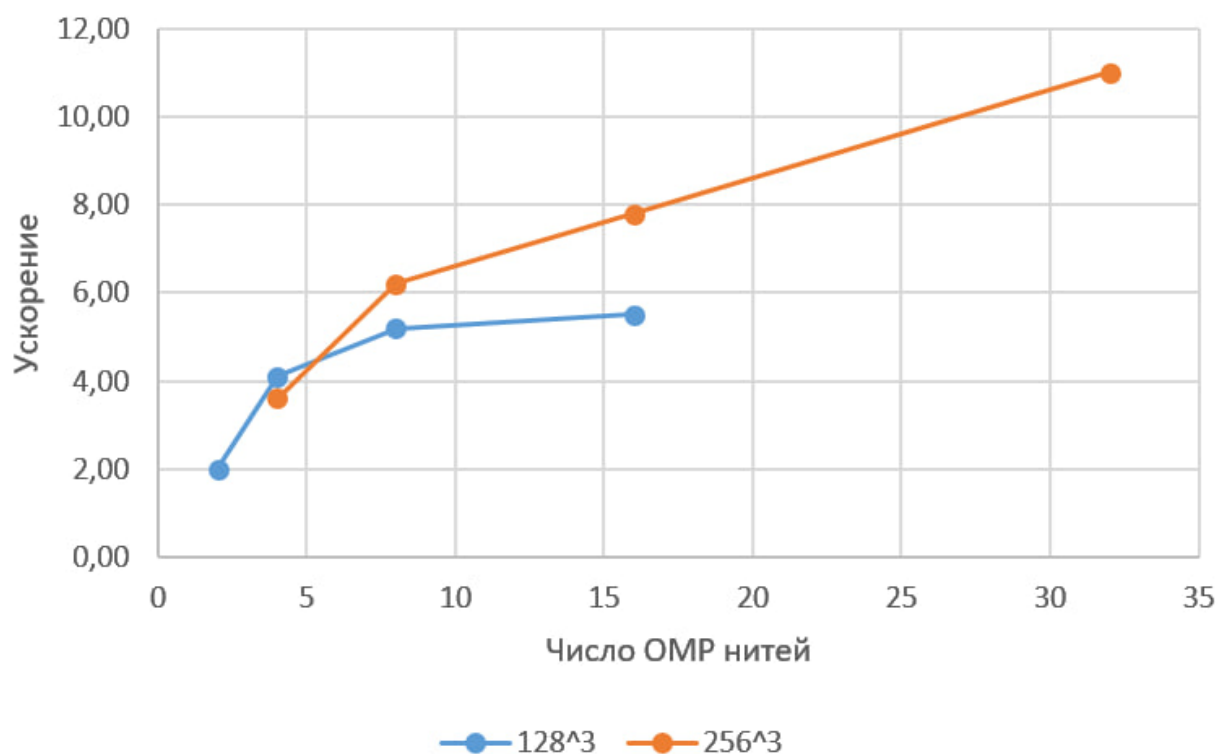


Рисунок 5. График ускорения OpenMP программы при  $L = \pi$ .

Число MPI процессов $N_p$	Число OpenMP нитей в процессе	Число точек сетки $N^3$	Время решения $T$	Ускорение $S$	Погрешность $\delta$
2	1	$128^3$	1,9	1	$7 \cdot 10^{-9}$
2	2	$128^3$	0,63	3,01	$7 \cdot 10^{-9}$
2	4	$128^3$	0,45	4,2	$7 \cdot 10^{-9}$
2	8	$128^3$	0,26	7,3	$7 \cdot 10^{-9}$
4	1	$256^3$	2,32	3,23	$7 \cdot 10^{-8}$
4	2	$256^3$	1,26	6	$7 \cdot 10^{-8}$
4	4	$256^3$	0,7	10,7	$7 \cdot 10^{-8}$
4	8	$256^3$	0,69	10,9	$7 \cdot 10^{-8}$

Таблица 3. Результаты исследования MPI/OpenMP программы при  $L = 1$ .

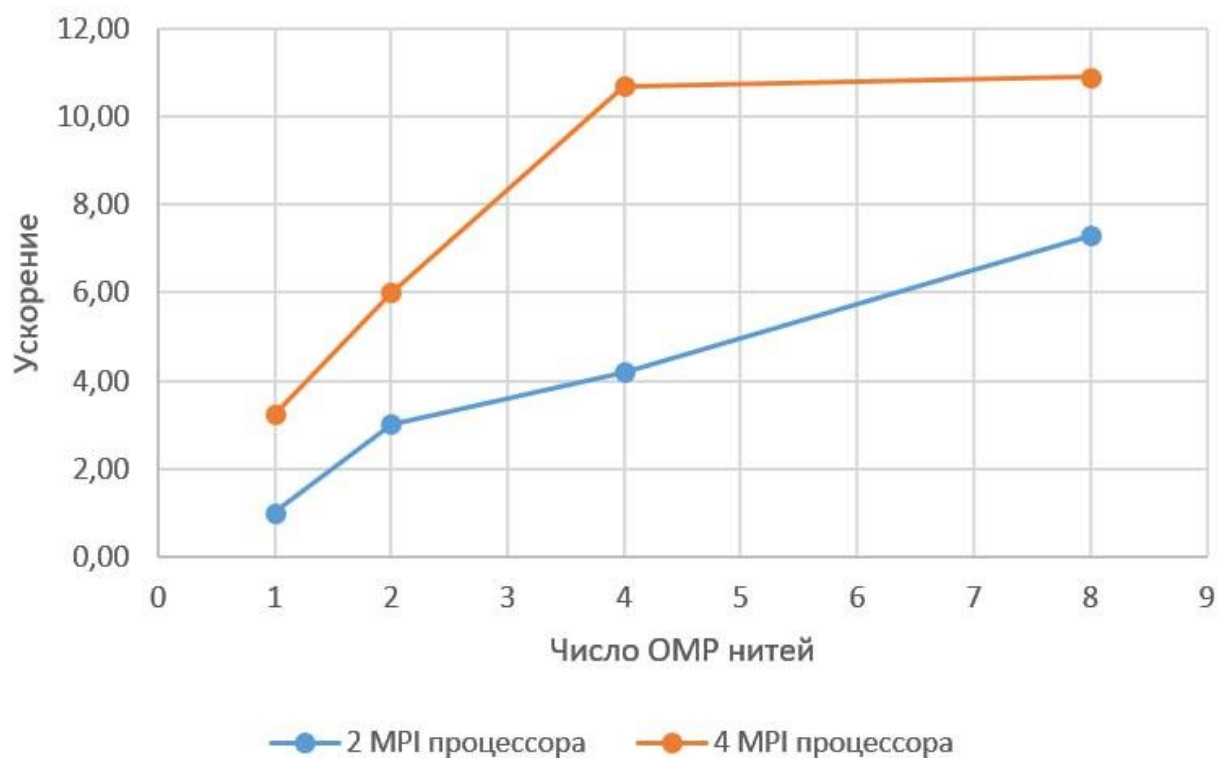


Рисунок 6. График ускорения MPI/OpenMP программы при  $L = 1$ .

Число MPI процессов $N_p$	Число OpenMP нитей в процессе	Число точек сетки $N^3$	Время решения $T$	Ускорение $S$	Погрешность $\delta$
2	1	$128^3$	0,82	2,3	$9 \cdot 10^{-9}$
2	2	$128^3$	0,48	4	$9 \cdot 10^{-9}$
2	4	$128^3$	0,38	4,9	$9 \cdot 10^{-9}$
2	8	$128^3$	0,2	9,4	$9 \cdot 10^{-9}$
4	1	$256^3$	2,37	2,9	$2 \cdot 10^{-9}$
4	2	$256^3$	1,35	5,1	$2 \cdot 10^{-9}$
4	4	$256^3$	0,67	10,3	$2 \cdot 10^{-9}$
4	8	$256^3$	0,6	11,5	$2 \cdot 10^{-9}$

Таблица 3. Результаты исследования MPI/OpenMP программы при  $L = \pi$ .

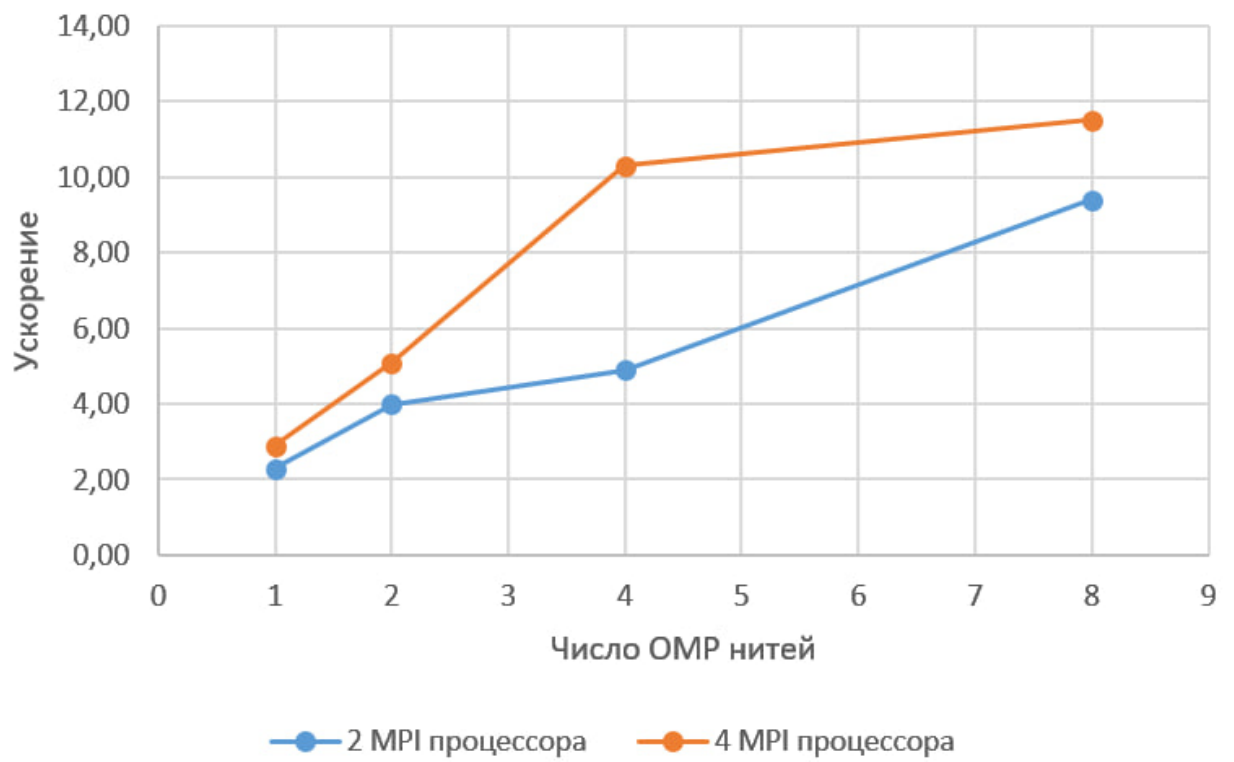


Рисунок 7. График ускорения MPI/OpenMP программы при  $L = \pi$ .

## 5. Выводы

В ходе исследования были полученные результаты:

- 1) Все 2 варианта программы решают задачу примерно за одинаковое время. Различия в программах – в количестве используемых ресурсов.
- 2) OpenMP довольно просто и быстро позволяет ускорить программу.
- 3) MPI/OpenMP показывает отличные результаты, однако быстро упирается в пропускную способность кеша и начинает часто ловить cachemiss, от чего эффективность ускорения падает.